

## 산 추출 그리고/또는 수증기 처리 모더나이트 상에서 n-hexane 의 전환반응

이명섭·최고열·이영섭\*·하백현

한양대학교 공과대학 화학공학과

\*포항공과대학 화학공학과

(1989년 2월 20일 접수, 1989년 5월 8일 채택)

## n-Hexane Conversion on Acid-leached and/or Steam-treated Mordenites

Myung-Sup Lee, Ko-Yeol Choi, Yeong-Sub Lee\*, and Baik-Hyon Ha

Dept. of Chem. Eng., College of Eng., Hanyang University

\*Dept. of Chem. Eng., College of Eng., Pohang Institute of Science and Technology

(Received 20 February 1989; accepted 8 May 1989)

### 요 약

수소형 모더나이트[HM(10)]와  $\text{SiO}_2/\text{Al}_2\text{O}_3$ 의 비가 22인 탈알미늄형 모더나이트[HM(22)] 및 이를 수증기 처리한 후 염산으로 세척하여 얻은  $\text{HM}(10)_{\text{s},\text{HCl}}$ 과 수증기 처리만 한  $\text{HM}(22)_{\text{s}}$ 에 대하여 질소흡착량, X-선 회절분석, NMR 분석 및 IR에 의한 암모니아 흡착량과 수산기 밴드로 특성을 측정하고 이 측면에 대하여 n-헥산의 전환반응을 실시하였다. 그 결과 수소형 HM(10)과 산처리만 실시한 HM(22)의 경우는 활성저하가 초기에 컸으나, 여기에 수증기 처리로 IR  $3600\text{ cm}^{-1}$  band 가 제거되면 활성저하가 현저히 감소하였다. 암모니아 흡착량은 산처리와 수증기 처리로 감소하였으나 이 흡착량이 n-헥산의 전환반응 활성과는 관계가 성립하지 않았다. 이성화 선택성은 수증기 처리한 시료에 대하여 큰 값을 보였다. 이성화 선택성으로 HM(10)<sub>s,HCl</sub>에서는  $>\text{C}_6$ 가 그리고 HM(22)<sub>s</sub>에서는 3-메틸펜탄의 생성이 각각 증가하였다.

**Abstract**—Hydrogen mordenite[HM(10)], aluminum-deficient mordenite [HM(22)] ( $\text{SiO}_2/\text{Al}_2\text{O}_3=22$ ), and their steam-treated mordenites [ $\text{HM}(10)_{\text{s},\text{HCl}}$ , which is washed with hydrogen chloride solution after steam-treating, and  $\text{HM}(22)_{\text{s}}$ ] were prepared and characterized by measuring nitrogen adsorption capacities, XRD analysis, NMR studies, and IR studies on ammonia adsorption and hydroxyl bands. Catalytic reaction of n-hexane with hydrogen was carried out on these samples. HM(10) and HM(22) revealed fast deactivation rate, but elimination of IR  $3600\text{cm}^{-1}$  band from these samples by steam-treating reduced the deactivation rate. The quantity of ammonia adsorption was reduced by steam-treating and acid-leaching, but the quantity showed no correlation with the activity of the n-hexane conversion. Isomerization selectivity was much improved by steam-treating.  $\text{HM}(22)_{\text{s}}$  and  $\text{HM}(10)_{\text{s},\text{HCl}}$  showed high selectivity for 3-methyl pentane and  $>\text{C}_6$ , respectively.

## 1. 서 론

모더나이트로부터 구조 중의 알미늄을 제거하면 탄화수소의 전환반응에서 그의 특성이 크게 변할 뿐만 아니라, 가장 문제가 되는 탄소 석출도 크게 감소한다[1, 2]. 알루미늄을 제거하는 방법은 염산으로 처리하여 추출하거나 수증기 열처리에 의하여 제거한다[3-5]. 그런데 산 처리보다는 수증기 처리시 탄소 석출은 현저하게 감소한다[1]. 이에 대하여 모더나이트가 갖는 수산기  $3600\text{ cm}^{-1}$  band의 변형이 탄소 석출의 변화 등 반응 특성이 크게 변한다고 설명하고 있다[1]. 그러나 지금 까지 이러한 시료들에 대하여 알킬방향족 화합물의 단순한 알킬기의 이동 반응연구가 대부분이며, 직쇄 탄화수소, 특히 n-헥산과 같은 복잡한 전환반응 특성에 관한 연구는 거의 없다.

이 연구는 이러한 산, 수증기, 산과 수증기의 2중처리 또는 수증기 처리 후 유리된 알루미나를 염산으로 세척하여 얻은 모더나이트에서 그의 산성질이 변할 때 n-헥산의 활성저하 현상, 이성화와 분해반응의 선택성, 그리고 생성물의 분포를 관찰함으로써 변형방법과의 관계를 고찰하였다.

## 2. 실험

### 2-1. 시료의 제조

출발 시료는 Norton 사의 Zeolon 900을 사용하였다. Na 형인 NaM을 먼저 2N  $\text{NH}_4\text{Cl}$  용액 중  $80^\circ\text{C}$ 에서 이온교환하여  $\text{NH}_4\text{M}$ 으로 하고 수세한 후  $120^\circ\text{C}$ 에서 3시간 건조하고 건조 공기 중  $550^\circ\text{C}$ 에서 열처리하여 HM(10)을 얻었다.

알루미늄 추출 모더나이트는  $\text{NH}_4\text{M}$ 을 염산 용액에 넣고 가열하면서 일정시간 방치한 후, 수세하고 건조 공기 중  $550^\circ\text{C}$ 에서 가열하고 분석하였다. 이때 얻어진 알루미늄 추출 모더나이트의 원자흡광 분석결과  $\text{SiO}_2/\text{Al}_2\text{O}_3$ 의 비는 22였으며 이를 HM(22)로 나타내었다. 이 두 시료의 수증기 처리는  $550^\circ\text{C}$ 에서 시료에 90%의 습윤공기를 보내면서 약 3시간 처리하였다. HM(10)을 수증기 처리한 것은 격자로부터 유리된 알루미늄 화합물을 제거하기 위하여, 0.01N 염산으로 세척하였으며 이를 HM(10)<sub>s,HCl</sub> 그리고 HM(22)를 수증기 처리한 것을 HM(22)<sub>s</sub>로 나타내었다.

### 2-2. 실험 방법

### 2-2-1. 질소흡착량 측정

질소흡착량은 액체질소의 온도에서 흡착 등온선을 얻고, 우선 상태압( $P/P_0$ )이 0으로 외삽되는 B 절법으로 구한 흡착량과 다른 한편으로는 등온선의 직선부분을 상태압이 1이 되도록 외삽하여 구하였다. 후자의 것으로 세공 용적의 크기 변화를 추산하였다[6]. 이때 사용한 흡착장치는 Micrometric 사의 Accusorb 2100E이다.

### 2-2-2. NMR 분석

NMR은 제올라이트 중 실리콘 사면체와 알루미나 사면체의 결합상태에 매우 유익한 정보를 준다[7]. TMS를 기준물질로  $39.76\text{ MHz}$ 에서  $29\text{-Si MAS NMR}$ 로 측정하였다. 이때 사용한 기종은 Bruker AM-200이다.

### 2-2-3. XRD 실험

촉매를 미세한 분말로 만들어 조사하였으며, Rigaku Geigerlex D-Max 3A로 측정하였다.

### 2-2-4. 암모니아 흡착

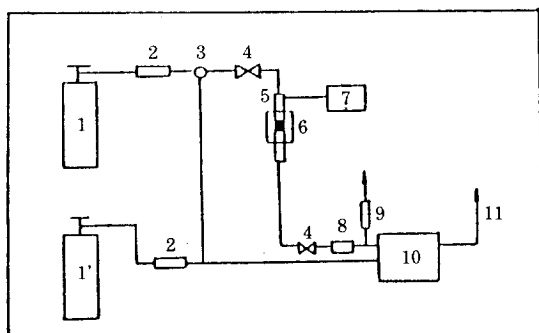
암모니아 흡착은 시료를 점결제 없이  $7\text{ mg}$ 을 정량하여  $9\text{ ton/cm}^2$ 의 압력을 가하면서 직경이  $18\text{ mm}$ 인 wafer를 만들고 이를 wafer mounter에 올려놓고 건조 공기를 보내면서  $450^\circ\text{C}$ 에서 16시간 처리하고 이를 진공 중 같은 온도에서 5시간 탈기시켰다. 다음 wafer의 온도를 상온으로 하고 암모니아가스를  $40\text{ mmHg}$  정도 도입하고 다시 16시간 방치한 후  $100^\circ\text{C}$ 에서 탈기하였다. 산과 중화로 흡착된 암모니아의 양을 IR NH-band( $1400\text{ cm}^{-1}$ )의 상대적인 피크의 크기로 비교하였다.

### 2-2-5. 수산기 측정

수산기는 암모니아 흡착시 만든 wafer를 그대로  $500^\circ\text{C}$  진공 중 처리하고 상온으로 냉각시킨 후 IR 장치로  $4000\text{-}3000\text{ cm}^{-1}$  band 사이에서 수산기 흡수 스펙트럼을 구하였다.

### 2-2-6. 반응 실험

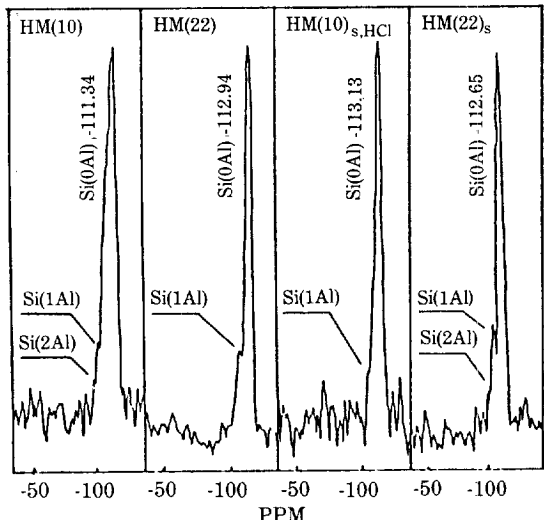
반응 실험에 사용된 장치는 Fig. 1과 같다.  $120\text{ mg}$ 의 시료 (42-80 mesh)를 필터가 붙은 소형 촉매반응 장치에 넣고  $12\text{ ml/min}$ 로 수소를 보내면서  $450^\circ\text{C}$ 에서 15시간 활성화시켰다. 반응물은 n-헥산을 질소에 25%로 회석시켜 사용하였으며 유속(WHSV)은  $3.5\text{ hr}^{-1}$ 로 하였다. 생성물의 분석은 Schimazu GC-3BT로  $3\text{ m}$ 의 squalene 판을 사용하였다. 활성표시는 전환 배분율(반응한 n-헥산의 mole 수/공급한 n-헥산의 mole 수  $\times 100$ )로 하였고, 분해반응에 대한 이성화 선



1. N<sub>2</sub> cylinder  
2. molecular sieve trap  
3. on-off valve  
4. needle value  
5. preheating region  
6. reactor  
7. microfeeder  
8. gas sampler  
10. gas chromatograph  
11. vent line

1'. H<sub>2</sub> cylinder  
3'. on-off valve  
5. preheating region  
7. microfeeder  
9. soap film flowmeter

**Fig. 1. Schematic diagram of experimental apparatus.**



**Fig. 2. Silicon-29 NMR spectra of prepared catalysts.**

**Table 1. Nitrogen adsorption capacities of montmorillonite catalysts**

catalysts	$\frac{\text{ml(STP)}}{\text{g}}$		capacities	$\frac{\text{ml(STP)}}{\text{g}}$	
	$V_0$	$V_1$		$V_0$	$V_1$
HM(10)	112	112	HM(10) <sub>s,HCl</sub>	105	120
HM(22)	111	132	HM(22) <sub>s</sub>	109	135

택성은 이성화생성물(mole 수)/분해생성물(mole 수)로 나타내었다.

### 3. 결과 및 고찰

#### 3-1. 질소흡착량

Table 1은 액체질소의 온도에서 질소의 흡착 등온선을 얻고 상대압을 각각 0과 1로 외삽하였을 경우의 흡착량[ml(STP)/g]  $V_0$ 와  $V_1$ 을 나타낸 것이다. 탈루미늄과 수증기 처리를 하지 않은 HM(10)은 등온선의 형태가 Langmuir 형처럼 수평하므로  $V_0$ 와  $V_1$ 은 112 ml(STP)/g으로 같은 값을 나타낸다. 그러나 이를 수증기 처리하고 염산으로 세척한 경우는  $V_0$ 는 112 ml(STP)/g보다 약간 떨어져 105 ml(STP)/g을 나타내고  $V_1$ 은 120 ml(STP)/g으로 증가한다. 이는 수증기 처리만으로도 세공표면에 구조가 부분적으로 파괴되어 세공이 확장되었다는 것을 의미한다.

염산으로 처리하여 SiO<sub>2</sub>/Al<sub>2</sub>O<sub>3</sub>가 22인 HM(22)의

$V_0$ 는 거의 HM(10)인 때와 같으나  $V_1$ 이 132 ml(STP)/g으로서 세공이 크게 확장되었다. 이를 다시 수증기 처리함으로써 세공은 135 ml(STP)/g으로 확장 효과는 더욱 커졌음을 알 수 있다.

#### 3-2. NMR 분석

Fig. 2는 Silicon-29 NMR spectra를 나타낸 것이다. 모더나이트는 고실리카이드로 Si(3Al)과 Si(4Al)는 존재하지 않는다[7]. 따라서 Si(2Al)은 -100 ppm, Si(1Al)은 -105.0 ppm 그리고 Si(0Al)은 -112.6 ppm에서 세 개의 피크가 나타났다. 이 결과를 보면 HM(10)에서 염산으로 알루미늄을 추출하게 되면 HM(22)에서는 Si(2Al)에 해당하는 알루미늄이 많이 사라지고 Si(1Al)은 약간 감소한다. 그러나 이 HM(22)를 계속 수증기 처리하게 되면 오히려 Si(1Al)이 다시 증가하고 Si(2Al)도 다시 약간 생성하고 있다. 이러한 현상은 염산 처리시 격자로부터 유리되어 세공 밖으로 빠져나오지 못한 알루미늄과 수증기 처리 시 골격에서 빠져나온 알루미늄이 수증기 반응 중에 Si와 재결합되는 것으로 생각된다. 이는 후술하는 XRD 결과에서도 확인할 수 있었다. 한편 HM(10)을 수증기 처리한 후 염산으로 세척한 HM(10)<sub>s,HCl</sub>은 Si(1Al)은 조금 감소하고 Si(2Al)은 거의 다 없어졌는데 이는 골격에서 빠져나온 알루미늄이 염산으로 세척함으로서 제거되었기 때문이다.

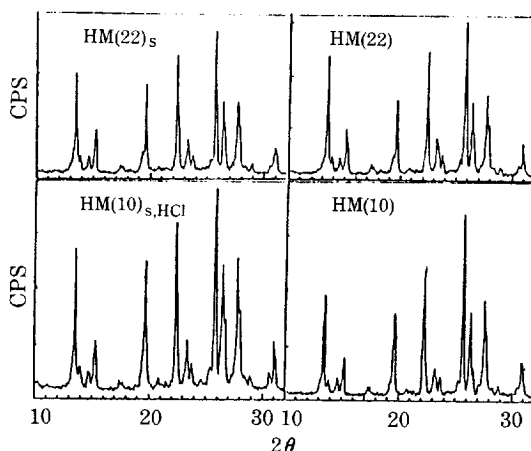


Fig. 3. XRD powder diffraction patterns of prepared catalysts.

### 3-3. XRD 분석

Fig. 3의 X-선 회절 스펙트럼에서 보면 앞에서 말한 바와 같이 특성 스펙트럼의 세기는 HM(10), HM(10)<sub>s,HCl</sub>, HM(22), 그리고 HM(22)<sub>s</sub>에서 차이가 거의 없다. 그러나 이 회절피크의  $2\theta$  값은 shift 한다. 즉 이는 unit cell 상수의 변화를 의미한다. 이를 orthorhombic 구조 해석으로 unit cell 상수 a, b 그리고 c를 계산한 결과가 Table 2이다. HM(10)을 염산 처리하거나 수증기 처리한 경우는 모두 구조 수축이 일어난 것을 알 수 있다. NMR 분석에서 본 바와 같이 이 두 경우는 Si(2 Al)이 다 제거된 경우이다. NMR 분석에서 Si(2 Al)이 다시 생성되고 Si(1 Al)이 많아진 HM(22)<sub>s</sub>에서도 유리되었던 알루미늄이 실리콘과 재결합하므로 unit cell 상수가 다시 증가되었다.

### 3-4. IR에 의한 수산기 및 암모니아의 흡착

HM(10), HM(22) 그리고 이들을 수증기로 처리한 시료의 수산기 band를 Fig. 4에 나타내었다. HM(10)의  $3600\text{ cm}^{-1}$  band는 수증기 처리시 감소하고  $3650\text{ cm}^{-1}$  band가 나타난다. 염산 처리만 하였을 경우는  $3600\text{ cm}^{-1}$  band는 약간 감소하였으나  $3650$

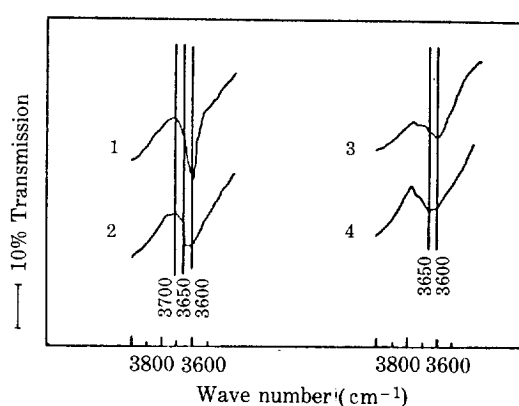


Fig. 4. Infrared spectra of prepared catalysts.

[1; HM(10), 2; HM(10)<sub>s,HCl</sub>, 3; HM(22), 4; HM(22)<sub>s</sub>]

$\text{cm}^{-1}$  band는 보이지 않는다. 그러나 HM(22)를 수증기 처리한 HM(22)<sub>s</sub>에서는  $3600\text{ cm}^{-1}$  band는 거의 다 사라지고  $3650\text{ cm}^{-1}$  band가 생성된다. 따라서 수증기 처리로  $3600\text{ cm}^{-1}$  band는 거의 다 제거되나 염산 처리로는 일부만 제거되는 것으로 이는 기왕의 연구결과와 잘 일치한다[8].

Fig. 5에 암모니아를 흡착시켜 얻은 IR 1300-1700  $\text{cm}^{-1}$  band 범위의 스펙트럼을 나타내었다. HM(10)보다 염산, 수증기 처리된 시료의 흡착량이 모두 감소하고 있다. 더욱이 HM(22)<sub>s</sub>가 가장 작은 값을 나타내고 있다. XRD나 NMR 결과에서 보면 격자로부터 유리되었던 알루미늄이 실리콘과 재결합한 것으로 되어 있으나 암모니아 흡착량에서 보면 산량이 줄어들고 있다. 그런데 수산기 band에서  $3650\text{ cm}^{-1}$  band는 산성을 나타내지 않는 것으로 알려져 있다[8]. 따라서 HM(22)<sub>s</sub>에서  $3650\text{ cm}^{-1}$  band가 생성되는 것은 이것이 수증기로 재결합하는 Si(2 Al)과 Si(1 Al)이 관련되지 않나 생각된다.

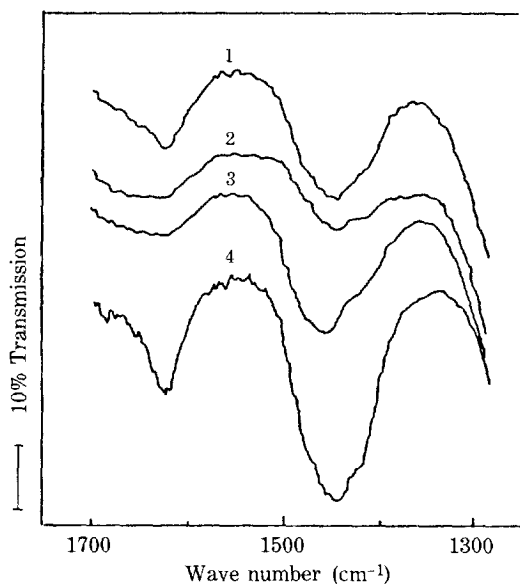
### 3-5. n-헥산 전환 활성

Fig. 6과 7은 HM(10), HM(22)<sub>s</sub>가 HM(22)

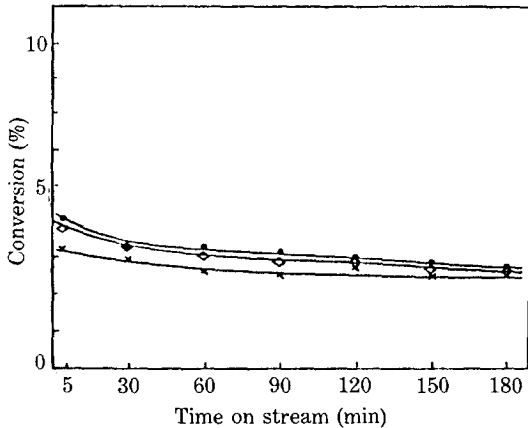
Table 2. Unit cell constants (a,b,c) of the catalysts

u.c.c.* cat.	a	b	c	u.c.c.* cat.	a	b	c
HM(10)	18.13	20.38	7.50	HM(10) <sub>s,HCl</sub>	18.01	20.28	7.46
HM(22)	18.08	20.28	7.47	HM(22) <sub>s</sub>	18.16	20.34	7.49

unit cell constant

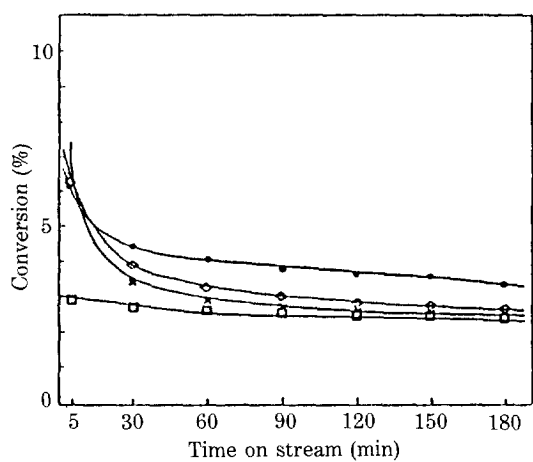


**Fig. 5. Infrared spectra of prepared catalysts.**  
[1; HM(10)<sub>s</sub>, HCl, 2; HM(22)<sub>s</sub>, 3; HM(22), 4;  
HM(10)]

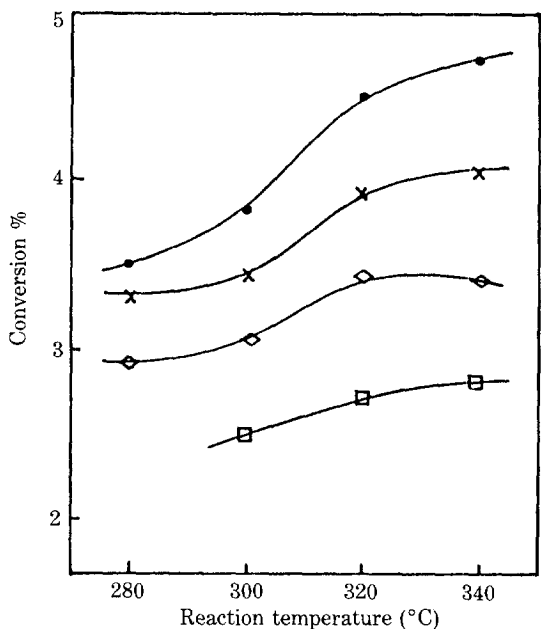


**Fig. 6. Conversion of n-hexane as a function of time on stream at 280°C.**  
[●; HM(22)<sub>s</sub>, ◇; HM(22), ×; HM(10)]

그리고 HM(22)<sub>s</sub>에 대하여 280°C 및 320°C에서 촉매 사용 시간에 따른 활성변화를 나타낸 것이다. 생성물의 재반응을 억제하기 위해 비교적 저 전환율의 값을 취하였다. 280°C에서는 사용된 촉매 종류에 관계없이 활성변화가 크지 않다. 그러나 320°C로 온도가 상승하게 되면 HM(10)과 HM(22)가 사용 초기에 활성저하가 비교적 크게 나타나고 있다. 이러한 현상은 기왕의 방향 즉 탄화수소의 결과[2]와도 유사한 것으로 n-헥산의



**Fig. 7. Conversion of n-hexane as a function of time on stream at 320°C.**  
[●; HM(22)<sub>s</sub>, ◇; HM(22), ×; HM(10), □; HM(10)<sub>s,HCl</sub>]



**Fig. 8. Conversion of n-hexane after 30 minutes on stream.**  
[●; HM(22)<sub>s</sub>, □; HM(10)<sub>s,HCl</sub>, ×; HM(22), ◇; HM(10)]

전환반응에도 IR 3600 cm<sup>-1</sup> band 가 많을수록 활성저하가 심하게 나타나는 것이다.

Fig. 8은 반응개시 30분 후에 측정한 n-헥산의 전환백분율을 반응온도에 따라 나타낸 것이다. HM(22)<sub>s</sub>가 활성이 가장 크며 HM(10)<sub>s,HCl</sub>이 가장 낮다. 이러한

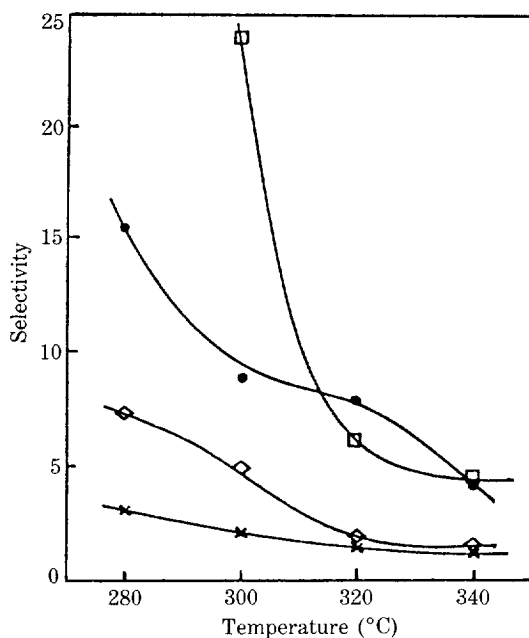


Fig. 9. Selectivity of isomerization to cracking after 30 minutes on stream.

[ □ ; HM(10)<sub>s,HCl</sub>, ● ; HM(22)<sub>s</sub>, ◇ ; HM(22), × ; HM(10) ]

한 결과는 반응초기(5분)에 탄소 석출이 적은 경우에도 같은 경향을 나타내고 있다. 그러나 HM(10)<sub>s,HCl</sub>의 경우는 활성저하가 거의 일어나지 않았다. 이러한 결과는 산량의 척도로 사용할 수 있는 암모니아 흡착량과는 무관하고 단순히 산 처리하고 수증기 처리한 경우가 활성이 가장 큰 것이다. 또한 산처리로 3600 cm<sup>-1</sup> band의 일부가 또는 수증기 처리로 3600 cm<sup>-1</sup> band가 거의 제거되더라도 활성은 오히려 더욱 크게 나타나고 있다. 이러한 현상은 toluene 불균화 반응[2]과 o-xylylene의 이성화 반응[9]에서의 결과와도 일치한다. 따라서 n-헥산의 전환반응에 관계된 활성점은, 결국 알킬 방향족의 불균화와 이성화 반응 때와 마찬가지로 적어도 3600 cm<sup>-1</sup> band에 해당하는 산점과는 무관하며, 이 3600 cm<sup>-1</sup> band는 탄화수소의 분해를 촉진하거나 탄소를 많이 생성하는 활성점으로 생각된다. 더구나 HM(22)<sub>s</sub>는 NMR 결과에서 보면 새로운 Si(1Al)과 Si(2Al)의 결합이 수열반응으로 이루어 졌다고 생각되나 이 결합은 3600 cm<sup>-1</sup> band의 형성과 관계가 없다고 생각된다. 따라서 HM(22)<sub>s</sub>에서 활성이 커지는 것은, 본 연구자 등의 기왕의 암모니아 TPD 연구[2]에서처럼 미량의 강산점의 형성과 관계된 것으로 생각된다.

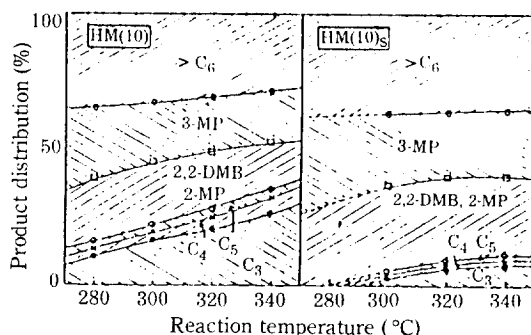


Fig. 10. Product distribution as a function of reaction temperature after 30 minutes on stream for HM(10) and HM(10)<sub>s,HCl</sub>. (● ; C<sub>3</sub>, × ; C<sub>4</sub>, ◇ ; C<sub>5</sub>, □ ; 2,2-dimethyl butane and 2-methyl pentane, ○ ; 3-methyl pentane)

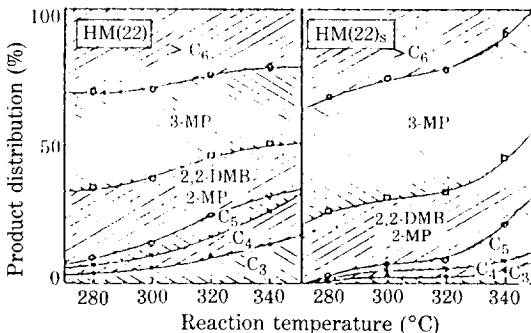


Fig. 11. Product distribution as a function of reaction temperature after 30 minutes on stream for HM(22) and HM(22)<sub>s</sub>. (● ; C<sub>3</sub>, × ; C<sub>4</sub>, ◇ ; C<sub>5</sub>, □ ; 2,2-dimethyl butane and 2-methyl pentane, ○ ; 3-methyl pentane)

### 3-6. 선택성

선택성은 n-헥산이 전화되어 생성된 이성화물의 몰수를 분해생성물의 몰수로 나눈 것으로 이를 Fig. 9에 나타내었다. 이성화 선택성은 수증기 처리하여 3600 cm<sup>-1</sup> band가 거의 사라진 HM(10)<sub>s,HCl</sub>과 HM(22)<sub>s</sub>에서 큰 값을 나타내고 있다. 그리고 HM(10) 보다는 산처리로 일부 3600 cm<sup>-1</sup> band를 제거한 HM(22)에서 선택성이 증가한다. HM(22)<sub>s</sub>에서는 활성과 선택성이 모두 크게 나타난다. 이와 같은 이유는 산 처리 및 수증기 처리에 의해 새로 생성된 미량의 강산점이 이성화 반응에 관여하며, 또한 3600 cm<sup>-1</sup> band가 제거됨에 따라 분해 반응이 감소되기 때문이다. 그러나 이 미량의 강산점에 대한 양과 성질에 대한 활성과의 정량적인 관계는 앞으로 더 연구하여야 할 문제라고 생각된다.

### 3-7. 생성물 분포

Fig. 10과 11은 반응생성물 중 미반응물을 제거한 생성물의 배분율 분포를 나타내고 있다. 성분들 중에서 분해생성물로  $C_3$ 를 대표적인 것으로 생각한다면 수증기 처리로  $3600\text{ cm}^{-1}$  band 가 제거되면 탄화수소의 분해가 현저히 감소하고 있다. 그리고 이성화에 있어서는  $\text{HM}(22)_s$ 의 경우 이성화 생성물인 3-MP의 생성이 최대를 나타낸다. 그러나 산 처리없이 수증기만으로 처리된  $\text{HM}(10)_{s,\text{HCl}}$ 은 3-MP의 생성이 다른 이성체에 비하여 상대적으로 현저히 낮고 오히려  $>\text{C}_6$  그리고 2, 2-DMB와 2-MP의 선택성이 높다. 따라서 이는 산성이 비슷할 경우 생성물 분포의 변화는 세공구조와 관계가 있는 것으로 생각된다. 즉,  $\text{HM}(10)_{s,\text{HCl}}$ 은  $\text{HM}(22)_s$ 보다 질소흡착량,  $V_1$ 이 적은 것을 보면 알 수 있다. 또한 XRD 결과에서 보면 결정성이 떨어진다. 따라서 전화율도 떨어지고 3-MP의 형성이 어렵지 않나 생각된다.

## 4. 결 론

1. 수소형 모더나이트를 산 처리하면  $\text{Si}(1\text{Al})$ ,  $\text{Si}(2\text{Al})$  결합이 없어지나 이를 수증기 처리하면 다시 형성되었다. 그러나  $3600\text{ cm}^{-1}$  band 는 형성되지 않았다.
2. 수소형 모더나이트를 산 처리하면  $3600\text{ cm}^{-1}$  band 가 감소하며 암모니아 흡착량도 감소하였다. 이를 수증기 처리하면 더욱 감소하였다.
3. IR  $3600\text{ cm}^{-1}$  band 가 큰 촉매에서 활성저하 속도가 크나 이를 수증기 처리로 제거하면 활성저하 속도가 감소하였다.
4. n-헥산의 분해활성은  $3600\text{ cm}^{-1}$  band 의 수산기 band 가 크면 현저히 증가하고 분해생성물  $C_3$ 도 증가

한다.

5. 산으로 알루미늄을 추출한 후 수증기 처리한 촉매에서 3-MP의 선택성이 크게 증가하였다. 그러나 알루미늄을 추출하지 않고 수증기로만 처리한 것은  $>\text{C}_6$ 의 생성이 오히려 증가하였다.

## 감 사

이재성 교수께서 그동안 서울대학교 화공과에서 국가 발전에 필요한 많은 일꾼을 배출하시고, 화학공학회의 창립과 발전을 위하여 힘 써오신 그 분의 업적을 기리고 이제 대학을 떠나시는 것을 기념하기 위하여 기고한 논문입니다.

## REFERENCES

1. Ha, B.H. and Lee, Y.W.: Proceedings of PACHEC '83 3th Pacific Chem. Eng. Congress, Vol. II, p. 220 (1983).
2. Gnepp, N.S., Martin de Armando, M.L., Marcilly, C., Ha, B.H., and Gunisnet, M.: "Catalyst Deactivation", Amsterdam, p. 79, 1980.
3. Olsson, R.W. and Rollmann, L.D.: *Inorg. Chem.*, **16**, 651 (1977).
4. Marcilly, C.: French Pat. 75/33, 601, 76/31, 320, 77/01265.
5. Ha, B.H. and Barthomeuf, D.: *JCS Faraday Trans. 1*, **75**, 2366 (1979).
6. Ha, B.H.: *Hwahak Konghak*, **12**, 75 (1974).
7. Scherzer, J.: "Catalytic Materials", ACS Washington p. 157, 1984.
8. Miradatos, C., Ha, B.H., Otsuka, K., and Barthomeuf, D.: Proceedings of 5th Int. Conf. Zeolites, London, p. 382, 1980.
9. Ha, B.H. and Lee, Y.W.: *Hwahak Konghak*, **20**, 267 (1982).